

**О ПРОСТРАНСТВЕННО-ПЕРИОДИЧЕСКИХ
НЕСТАЦИОНАРНЫХ ПРОЦЕССАХ ПРИ КРИСТАЛЛИЗАЦИИ**

A. F. Спивак, T. A. Черепанова

(Riga)

Вопросам возможных механизмов неоднородности, в том числе полосчатой, распределения примеси в растущем кристалле посвящено значительное число исследований как теоретического, так и прикладного плана. В теоретических работах, как правило, рассматривалась зависимость коэффициентов распределения от колебаний температурного (или концентрационного) поля в маточной фазе вблизи межфазной границы. Неоднородность распределения примеси, имеющая место в результате потери морфологической устойчивости растущей грани и появления ячеистой структуры, изучена в многочисленных работах Секерки и сотрудников [1]. Однако при этом проводилось традиционное математическое изучение решения задачи Стефана на устойчивость. В то же время экспериментальные исследования [2] образцов, полученных эпитаксией GaAs из газовой фазы, указали на фундаментальный характер возможных пространственно-периодических нестационарных процессов на фронте кристаллизации при некоторых, по-видимому, экстремальных режимах роста кристаллов. В [3] предложен механизм потери морфологической устойчивости, обусловленный возрастающей ролью тепловых флуктуаций параметров состояния системы на межфазной границе. Цель настоящей работы — развитие подхода [3] для изучения возможного влияния процессов тепло- и массопереноса в маточной (жидкой или газовой) фазе на процессы кристаллизации.

1. Влияние конвекции на устойчивость плоского фронта кристаллизации. Рассмотрим устойчивость направленной кристаллизации бинарного сплава при естественной конвекции в условиях микрогравитации и на Земле. Результаты расчетов получены в соответствии с данными экспериментов [4] кристаллизации сплавов Al — Cu с малыми концентрациями ($\leq 0,1\%$) меди в жидкой фазе. В ходе экспериментов обеспечена хорошая смачиваемость стенок ампулы расплавом. Поэтому конвективными потоками, обусловленными зависимостью коэффициента поверхностного натяжения от температуры и концентрации меди в расплаве (конвекций Марангони), можно пренебречь. В соответствии с этим при исследовании морфологической устойчивости межфазной границы в настоящей работе рассмотрено влияние естественной конвекции на кинетику длинноволновой части спектра локально-равновесных тепловых флуктуаций плоского фронта кристаллизации. Учет этого влияния в общем случае определяется толщиной δ_D и δ_T диффузионного и температурного пограничных слоев. Они оцениваются из соотношений [5]

$$\delta_T = \frac{\delta_0}{\sqrt[3]{Pr}}, \quad \delta_D = \frac{\delta_0}{\sqrt[3]{Pr_D}}, \quad \delta_0 \simeq \frac{\sqrt{3}}{2} \sqrt{\frac{\eta l}{\rho v_0}},$$

где η — динамическая вязкость; ρ — плотность расплава; D — коэффициент диффузии примеси; l и v_0 — характерные размер и скорость течения расплава вблизи фронта кристаллизации; $Pr_D = \eta/\rho D$; $Pr = \eta/\rho \chi_0$; χ_0 — температуропроводность расплава.

Вне диффузионного пограничного слоя задается условие полного перемешивания компонентов расплава, так что концентрация меди в этой области считается заданной. Внутри диффузионного слоя массоперенос к межфазной границе обусловлен молекулярной диффузией. Поскольку для металлов $\delta_T \gg \delta_D$, при проведении расчетов устремим толщину δ_T к бесконечности.

Процессы тепло- и массопереноса в системе (как регулярные, так и обусловленные тепловыми флуктуациями флуктуационные их составляющие) описываются феноменологическими уравнениями теплопроводности и диффузии, в правые части которых введены случайные сторонние силы:

$$(1.1) \quad \frac{\partial T_v}{\partial t} = V \frac{\partial T_v}{\partial z} + \chi_v \Delta T_v - \frac{1}{c_{p,v} \rho_v} \operatorname{div} \mathbf{q}_{T,v,i}^{\text{ст}} (v = 0,1);$$

$$(1.2) \quad \frac{\partial c}{\partial t} = V \frac{\partial c}{\partial z} + D \Delta c - \operatorname{div} \mathbf{q}_D^v.$$

Здесь индексом v обозначена принадлежность к жидкой ($v = 0$) и твердой ($v = 1$) фазам, так что T_0 и T_1 — температура в расплаве и кристалле; c — концентрация меди в расплаве; c_p , ρ , χ — удельная теплоемкость, плотность и коэффициент температуропроводности.

Сторонние случайные силы обеспечивают уровень белого шума локально-равновесных тепловых флуктуаций в системе. Их спектральные характеристики определяются флуктуационно-диссипативной теоремой [6]

$$(1.3) \quad \langle q_{T,i}^v(\mathbf{r}, t) q_{T,j}^{ct}(\mathbf{r}', t') \rangle = 2k_B \langle T \rangle^2 \chi \delta(\mathbf{r} - \mathbf{r}') \delta(t - t') \delta_{ij};$$

$$(1.4) \quad \langle q_{D,i}^{ct}(\mathbf{r}, t) q_{D,j}^{ct}(\mathbf{r}', t') \rangle = \frac{2k_B \langle T \rangle}{\rho_0^2} \gamma_D \delta(\mathbf{r} - \mathbf{r}') \delta(t - t') \delta_{ij},$$

где χ — коэффициент теплопроводности; γ_D — кинетический коэффициент диффузии; k_B — постоянная Больцмана; $\delta(\mathbf{r} - \mathbf{r}')$ и $\delta(t - t')$ — дельта-функции Дирака; δ_{ij} — символ Кронекера; $\langle \dots \rangle$ означает осреднение по ансамблю. Уравнения (1.1), (1.2) записаны в системе координат, движущейся вдоль оси слитка со скоростью протяжки слитка V . Представим поле температур, концентрации, функцию рельефа границы раздела фаз $\varepsilon(x, y, t)$ в виде суммы регулярной и флуктуационной составляющих: $T = \langle T \rangle + \tilde{T}$, $c = \langle c \rangle + \tilde{c}$, $\varepsilon = \langle \varepsilon \rangle + \tilde{\varepsilon}$, так что $\langle \tilde{T} \rangle = \langle \tilde{c} \rangle = \langle \tilde{\varepsilon} \rangle = 0$. Скорость кристаллизации $V = d\langle \varepsilon \rangle / dt$. Условия на фронте кристаллизации:

$$T_0|_{z=\varepsilon} = T_1|_{z=\varepsilon}, \quad \chi_1 \frac{\partial T_1}{\partial n} \Big|_{z=\varepsilon} - \chi_0 \frac{\partial T_0}{\partial n} \Big|_{z=\varepsilon} = \rho_1 q \frac{\partial \varepsilon}{\partial t},$$

$$D \frac{\partial c}{\partial n} \Big|_{z=\varepsilon} = -(1-m) \frac{\partial \varepsilon}{\partial t} c \Big|_{z=\varepsilon}.$$

Здесь $\partial/\partial n$ — производная по нормали к межфазной границе; q — удельная теплота плавления; m — коэффициент распределения примеси (для Al — Cu $m < 1$). Эксперименты [4] по исследованию морфологической устойчивости проведены для малых концентраций примеси $c \leq 0,1\%$. Поэтому уравнение ликвидуса равновесной фазовой диаграммы можно аппроксимировать линейной зависимостью:

$$T_0^{eq} = T_{eq} - nc|_{z=\varepsilon}.$$

Полагая, что имеет место нормальный механизм роста, локальную скорость движения границы раздела фаз представим как

$$\frac{\partial \varepsilon}{\partial t} = k(T_{eq} - nc|_{z=\varepsilon} - T_0|_{z=\varepsilon}) + \Gamma K(x, y, t),$$

где k — кинетический коэффициент роста; $\Gamma = k\sigma \langle T \rangle / \rho_1 q$; σ — коэффициент поверхностного натяжения; $K(x, y, t)$ — локальная кривизна фронта кристаллизации.

Теплообмен боковой поверхности образца с ампулой радиуса R определяется законом Ньютона

$$\chi_v \frac{\partial T_v}{\partial r} \Big|_{r=R} = -\alpha (T_v - T_h).$$

Здесь T_h — температура на нагревателе; α — коэффициент теплопередачи. На торцах образца в кристалле ($z = \langle \varepsilon \rangle - l_1$) и в расплаве ($z = \langle \varepsilon \rangle + l_0$) градиент температуры $\partial T_h / \partial z = G_h$ считается постоянным и заданным:

$$\frac{\partial T_1}{\partial z} \Big|_{z=\langle \varepsilon \rangle - l_1} = \frac{\partial T_0}{\partial z} \Big|_{z=\langle \varepsilon \rangle + l_0} = G_h.$$

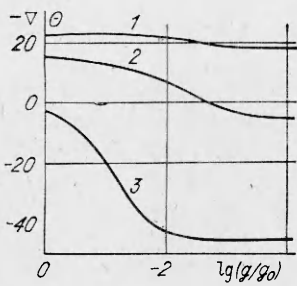


Рис. 1

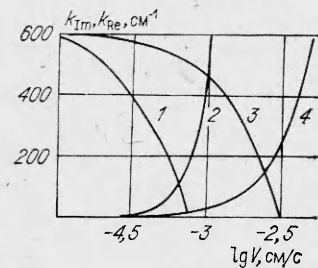


Рис. 2

На границе диффузионного пограничного слоя

$$c|_{z=\langle e \rangle + \delta_D} = c_0$$

(c_0 — концентрация примеси в ядре расплава). Для осредненных по ансамблю полей температуры и концентрации решение одномерной задачи имеет вид

$$(1.5) \quad \langle c \rangle = \frac{\left\{ m + (1-m) \exp \left[-\frac{V}{D} (z - \langle e \rangle) \right] \right\} c_0}{\left[m + (1-m) \exp \left(-\frac{V}{D} \delta_D \right) \right]},$$

$$(1.6) \quad \langle T_0 \rangle = T_H(z) + \frac{VR\rho_0 c_{p,0}}{2\alpha} G_H + \frac{A_0}{2 \operatorname{sh}(a_0 l_0)} \times \\ \times \left\{ \frac{\exp(-a_0 l_0)}{a_0 - b_0} \exp[(a_0 - b_0)(z - \langle e \rangle)] + \frac{\exp(a_0 l_0)}{a_0 + b_0} \exp[-(a_0 + b_0)(z - \langle e \rangle)] \right\};$$

$$(1.7) \quad \langle T_1 \rangle = T_H(z) + \frac{VR\rho_1 c_{p,1}}{2\alpha} G_H + \frac{A_1}{2 \operatorname{sh}(a_1 l_1)} \left\{ \frac{\exp(a_1 l_1)}{(a_1 - b_1)} \times \right. \\ \left. \times \exp[(a_1 - b_1)(z - \langle e \rangle)] + \frac{\exp(-a_1 l_1)}{a_1 + b_1} \exp[-(a_1 + b_1)(z - \langle e \rangle)] \right\},$$

$$\text{где } a_i = \sqrt{b_i^2 + \frac{2\alpha}{R\rho_i}}, \quad b_i = \frac{V}{2\chi_i};$$

$$A_0 = \frac{V}{\chi_0} \frac{\rho_1 q [a_1 \operatorname{cth}(a_1 l_1) + b_1] - G_H (\rho_0 c_{p,0} - \rho_1 c_{p,1})}{a_0 \operatorname{cth}(a_0 l_0) - b_0 + a_1 \operatorname{cth}(a_1 l_1) + b_1};$$

$$A_1 = \frac{V}{\chi_1} \frac{\rho_1 q [a_0 \operatorname{cth}(a_0 l_0) - b_0] + G_H (\rho_0 c_{p,0} - \rho_1 c_{p,1})}{a_0 \operatorname{cth}(a_0 l_0) - b_0 + a_1 \operatorname{cth}(a_1 l_1) + b_1}.$$

Выражения (1.5)–(1.7) позволяют оценить величину концентрационного переохлаждения перед фронтом кристаллизации. На рис. 1 представлена зависимость $-\nabla \Theta$ — градиента переохлаждения в расплаве на межфазной границе — от величины ускорения свободного падения g . Здесь $\nabla \Theta = \frac{d\Theta}{dz}|_{z=\langle e \rangle}$, $\Theta = T_0^{eq} - \langle T_0 \rangle$ и $g_0 = 9,81 \text{ м/с}^2$, кривые 1–3 получены для скоростей вытягивания слитка $V = 10^{-4}, 10^{-3}, 3 \cdot 10^{-3} \text{ см/с}$. Концентрация меди в ядре расплава задавалась равной 0,1%, величина градиента температуры на поверхности образца 1300 град/м.

Решение задачи для флукуационных составляющих температуры \tilde{T}_i , концентрации меди в расплаве c и рельефа межфазной границы $\tilde{e}(x, y, t)$ будем искать в $\omega - \mathbf{k}$ -фурье-представлении по времени и пространственным координатам x, y . Уравнения для этих составляющих получаем вычитанием уравнений для регулярных частей $\langle T_v \rangle, \langle c \rangle$ из (1.1), (1.2). В линейном приближении невзаимодействующих флукуаций найдены выражения для $\tilde{e}(\mathbf{k}, \omega)$ в виде функционалов случайных сторонних сил.

Использование флюктуационно-диссипативной теоремы (1.3), (1.4) позволяет найти спектральные плотности парных корреляционных функций рельефа фронта кристаллизации. В области значений волновых векторов, реализующихся в ходе эксперимента [4],

$$\begin{aligned} \langle \tilde{\epsilon}^2 \rangle_{k,\omega} \simeq & \left[2|k|k_B \langle T^2 \rangle (\kappa_1 + \kappa_0) + \frac{2n^2(\kappa_1 + \kappa_0)^2 |k| k_B \langle T \rangle \gamma_D}{\rho_0^2} \operatorname{cth}^2(k\delta_D) \right] \times \\ & \times \left\{ \omega^2 \left(\frac{(\kappa_0 + \kappa_1)k}{k} + \frac{n(1-m)\langle c \rangle (\kappa_1 + \kappa_0) \operatorname{th}(k\delta_D)}{D} + \rho_1 q \right)^2 + \right. \\ & + \frac{(\kappa_1 + \kappa_0) \Gamma k^3}{k} + (\kappa_1 G_1 + \kappa_0 G_0 + 2\kappa n G_D) k + \\ & \left. + \frac{\rho_1 q V^2}{2\chi_1} - \frac{n m V (\kappa_1 + \kappa_0) G_D \operatorname{th}(k\delta_D)}{D} \right\}^{-1}. \end{aligned}$$

Здесь $G_v = \frac{d \langle T_v \rangle}{dz} \Big|_{z=\langle e \rangle}$; $G_D = \frac{d \langle c \rangle}{dz} \Big|_{z=\langle e \rangle}$; $\langle c \rangle = \langle c \rangle|_{z=\langle e \rangle}$; $\langle T \rangle = \langle T_v \rangle|_{z=\langle e \rangle}$; $\kappa = (\kappa_0 + \kappa_1)/2$

Характерные времена и масштабы флюктуационных образований рельефа межфазной границы определяются положением в комплексной полуплоскости корней дисперсионного уравнения для волновых векторов:

$$\frac{2\kappa \Gamma k^3}{k} + (\kappa_0 G_0 + \kappa_1 G_1 + 2\kappa n G_D) k + \frac{\rho_1 q V^2}{2\chi_1} - \frac{2\kappa n m V G_D \operatorname{th}(k\delta_D)}{D} = 0.$$

Характерный масштаб экспоненциального обрезания корреляционной функции $\langle \tilde{\epsilon}(\mathbf{r}, t) \tilde{\epsilon}(\mathbf{r}', t') \rangle$ задается мнимой частью корня k_{Im} , в то время как характерный масштаб пространственно-периодической части — его реальной частью $2\pi k_{\text{Re}}^{-1}$. Потеря морфологической устойчивости плоского фронта кристаллизации определяется условиями процесса, при которых $k_{\text{Re}} \sim 2\pi k_{\text{Im}}$. На рис. 2 приведены зависимости k_{Re} , k_{Im} от V для экспериментов в условиях микрогравитации (кривые 1, 2) и на Земле (кривые 3, 4). Из них следует, что с увеличением степени гравитации увеличиваются пороговые скорости роста, при которых имеет место потеря морфологической устойчивости границы раздела фаз. Эта качественная зависимость и численные значения пороговых скоростей $V \simeq 10^{-3}$ см/с находятся в согласии с данными экспериментов [4].

2. Генерация звуковых колебаний в градиенте температуры при газовой эпитаксии. Изучению термоакустических колебаний в трубах посвящен ряд исследований [7]. Они проведены без учета трения в газе для различных моделей теплопередачи либо с использованием приближения пограничного слоя при описании газодинамики и теплообмена. В [8] развитие автоколебаний газа в неравномерно нагретом канале изучено с точки зрения потери устойчивости стационарного течения газа при учете зависимости коэффициентов вязкости и теплопроводности от температуры.

Рассмотрим влияние белого шума локально-равновесных тепловых флюктуаций в газе на развитие длинноволновых автоколебаний в неравномерно нагретом эпитаксиальном реакторе. Предполагается, что диаметр реактора мал по сравнению с его длиной, и потому можно пренебречь конвективными течениями. Система нестационарных уравнений газодинамики и теплопроводности вязкого идеального газа в осесимметричном случае имеет вид

$$(2.1) \quad \rho \frac{\partial \mathbf{v}}{\partial t} + \rho (\mathbf{v} \nabla) \mathbf{v} = - \operatorname{grad} p + \eta \Delta \mathbf{v} + \left(\frac{1}{3} \eta + \xi \right) \operatorname{grad} \operatorname{div} \mathbf{v} + \nabla \sigma^{\text{ct}};$$

$$(2.2) \quad -\frac{\partial \rho}{\partial t} + \operatorname{div} (\rho \mathbf{v}) = 0;$$

$$(2.3) \quad \rho c_p \left(\frac{\partial T}{\partial t} + (\mathbf{v} \nabla) T \right) = \kappa \Delta T + \frac{\partial p}{\partial t} + (\mathbf{v} \nabla) p + \operatorname{div} \mathbf{q}_T;$$

$$(2.4) \quad p = \rho B T.$$

Здесь ξ — объемная вязкость газа; B — удельная газовая постоянная идеального газа. В дополнении к (1.3), согласно флюктуационно-диссипативной теореме, корреляционные функции стороннего тензора напряжений $\sigma_{ik}^{\text{ст}}$ запишем как

$$(2.5) \quad \langle \sigma_{ij}^{\text{ст}}(\mathbf{r}, t) \sigma_{kl}^{\text{ст}}(\mathbf{r}', t') \rangle = 2k_B \langle T \rangle \left[\eta (\delta_{ik} \delta_{lj} + \delta_{il} \delta_{jk}) + \left(\xi - \frac{2}{3} \eta \right) \delta_{ij} \delta_{kl} \right] \delta(\mathbf{r} - \mathbf{r}') \delta(t - t').$$

Уравнения (2.1)–(2.5), (1.3) дополним граничными условиями

$$(2.6) \quad \mathbf{v}|_{r=R} = 0;$$

$$(2.7) \quad \left. \frac{\partial (\mathbf{v} \mathbf{n}_z)}{\partial \mathbf{r}} \right|_{r=0} = (\mathbf{v} \mathbf{n}_r)|_{r=0} = 0;$$

$$(2.8) \quad - \left. \frac{\partial T}{\partial r} \right|_{r=R} = \alpha (T|_{r=R} - T_h),$$

где \mathbf{n}_r , \mathbf{n}_z — ортонормированные векторы базиса цилиндрической системы координат.

Здесь предполагаются прилипание газа на стенках реактора (2.6), осевая симметрия течения (2.7) и закон Ньютона для теплообмена газа с реактором (2.8). Через T_h обозначена температура на нагревателе, градиент которой считается постоянным и заданным. На входе ($z = 0$) и выходе ($z = l$) реактора выполняются мягкие граничные условия

$$(2.9) \quad \left. \frac{\partial (\mathbf{v} \mathbf{n}_z)}{\partial z} \right|_{r=R} = \left. \frac{\partial T}{\partial z} \right|_{r=R} = \left. \frac{\partial \rho}{\partial z} \right|_{r=R} = 0.$$

Вновь представим T , ρ , p , \mathbf{v} в виде суммы флюктуационной и регулярной составляющих. Полученную из (2.1)–(2.4) систему уравнений для \tilde{T} , $\tilde{\rho}$, \tilde{p} , $\tilde{\mathbf{v}}$, линеаризованную по флюктуациям, проинтегрируем по сечению реактора. В соответствии с этим введем новые искомые функции \tilde{T}_s , \tilde{p}_s , \tilde{u}_s , $\tilde{\rho}_s$ такие, что

$$\begin{aligned} \tilde{T}_s(z, t) &= \frac{1}{\pi R^2} \int_0^R dr \int_0^{2\pi} d\varphi \tilde{T}(r, z, \varphi, t), \\ \tilde{u}_s(z, t) &= \frac{1}{\pi R^2} \int_0^R dr \int_0^{2\pi} d\varphi \tilde{v}_z(r, z, \varphi, t) \end{aligned}$$

(\tilde{v}_z — составляющая вдоль оси z скорости газа $\tilde{\mathbf{v}}$).

При интегрировании градиентов скоростей газовых потоков вблизи стенок реактора предполагается справедливым приближение пограничного слоя

$$\left. \frac{\partial v_z(r, z, t)}{\partial r} \right|_{r=R} \simeq - \frac{v_z(R - \delta_0, z, t)}{\delta_0}$$

(δ_0 — его толщина). Величину δ_0 можно оценить из решения задачи об осциллирующем с частотой ω течении несжимаемой вязкой жидкости в канале [5]:

$$(2.10) \quad \delta_0 = R/\operatorname{Re} \left(\frac{y J_1(y)}{J_2(y)} \right), \quad y = \sqrt{-i\omega\eta/\langle \rho \rangle_*}$$

Здесь J_1 , J_2 — функции Бесселя первого и второго порядков; $\langle \rho \rangle$ — ре-

гулярная составляющая плотности. В случае малой толщины пограничного слоя

$$\delta_0 \simeq \frac{3}{2} \frac{\Gamma\left(\frac{3}{2}\right)}{\Gamma\left(\frac{5}{2}\right)} R \left(\sqrt{\frac{\omega \langle \rho \rangle}{2\eta}} \right)^{-1}$$

(Γ — гамма-функция). Окончательно имеем следующую систему уравнений для флюктуационных частей $\tilde{T}_s(z, t)$, $\tilde{u}_s(z, t)$, $\tilde{p}_s(z, t)$ и $\tilde{\rho}_s(z, t)$:

$$(2.11) \quad \langle p \rangle^{-1} \frac{\partial \tilde{p}_s}{\partial t} - \langle T \rangle^{-1} \frac{\partial \tilde{T}_s}{\partial t} + \frac{\partial \tilde{u}_s}{\partial z} = 0;$$

$$(2.12) \quad \frac{\partial \tilde{u}_s}{\partial t} - \frac{1}{\langle p \rangle} \left(\frac{4}{3} \eta + \xi \right) \frac{\partial^2 \tilde{u}_s}{\partial z^2} + \delta_s \tilde{u}_s = - \frac{c^2}{\gamma \langle p \rangle} \frac{\partial \tilde{p}_s}{\partial z} + (\nabla \mathbf{q}^{\text{ct}})_s;$$

$$(2.13) \quad \frac{\partial \tilde{T}_s}{\partial t} - \chi \frac{\partial^2 \tilde{T}_s}{\partial z^2} + \alpha_s \tilde{T}_s = - G_T \tilde{u}_s + \frac{\gamma - 1}{\gamma} \frac{\langle T \rangle}{\langle p \rangle} \frac{\partial \tilde{p}_s}{\partial t} + (\text{div } \mathbf{q}_T^{\text{ct}})_s,$$

где γ — адиабатическая постоянная; $G_T = \partial \langle T \rangle / \partial z$ — градиент регулярной составляющей поля температуры; $c = \sqrt{\gamma \frac{\langle p \rangle}{\langle \rho \rangle}}$ — скорость звука;

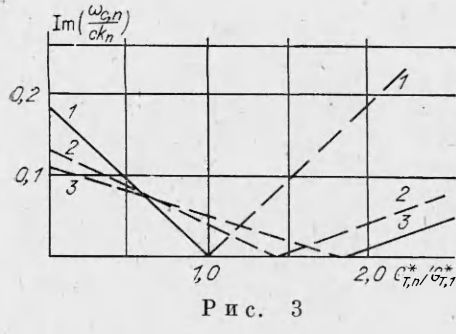
$$\delta_s \simeq \frac{4}{3R^2 \langle \rho \rangle} \left(\frac{4}{3} \eta + \xi \right) \frac{\Gamma\left(\frac{5}{2}\right)}{\Gamma\left(\frac{3}{2}\right)} \sqrt{\frac{\omega \langle \rho \rangle}{2\eta}}; \quad \alpha_s = \frac{2\alpha\chi}{R}.$$

Рассматривается неравномерно нагретый реактор. Поэтому плотность газа $\langle \rho \rangle$, температура $\langle T \rangle$, а следовательно, коэффициенты при искомых функциях в (2.11)–(2.13) зависят от z . С целью упрощения оценок заменим их на средние эффективные значения, полагая, что это не повлияет на качественный характер поведения полученных таким образом функций. Кроме того, градиент температуры G_T зададим постоянным. Тогда решение (2.11)–(2.13) можно искать в виде

$$\tilde{u}_s = \sum_{n=0}^{\infty} [u_n \exp(ik_n z) + u_n^* \exp(-ik_n z)]$$

и т. д. Здесь $k_n = \pi n / l$ — собственное значение гармонического уравнения с однородными граничными условиями второго рода на границе области ($n = 0, 1, 2, \dots$). Производя фурье-преобразование уравнений (2.11)–(2.13) по времени, можно определить спектральные плотности искомых функций $p_n(\omega)$, $u_n(\omega)$, $T_n(\omega)$ через функционалы спектральных плотностей случайных сторонних сил. Используя флюктуационно-диссипативную теорему (1.3), (2.5), для спектральной плотности корреляционной функции давления получаем

$$(2.14) \quad \langle \tilde{P}_s \rangle_{k_n, \omega} = \left\{ \frac{2k_B \chi}{\pi} \left(\frac{\gamma - 1}{\gamma} \right)^2 \omega^2 \left[\omega^2 + \left(\frac{k_n^2}{\langle p \rangle} \left(\frac{4}{3} \eta + \xi \right) + \delta_s^n \right)^2 \right] - \right. \\ \left. - k_n^2 \frac{k_B \langle T \rangle}{\pi} \left(\frac{4}{3} \eta + \xi \right) \frac{c^2}{\gamma} \left[\omega^2 + \left(k_n^2 \chi + \alpha_s + \frac{G_T}{\langle T \rangle} \frac{\omega}{k_n} \right)^2 \right] \right\} \times \\ \times \left\{ \frac{\omega}{k_n^2 \gamma^2} \left[-\omega^2 + k_n^2 c^2 + \gamma \left(\frac{k_n^2}{\langle \rho \rangle} \left(\frac{4}{3} \eta + \xi \right) + \delta_s^n \right) (\chi k_n^2 + \alpha_s) \right]^2 + \right. \\ \left. + \left[\frac{1}{k_n} \left(k_n^2 c^2 (k_n^2 \chi + \alpha_s) - \omega^2 \left(\frac{k_n^2}{\langle \rho \rangle} \left(\frac{4}{3} \eta + \xi \right) + \right. \right. \right. \right. \\ \left. \left. \left. \left. + \chi k_n^2 + \alpha_s + \delta_s \right) \right) + \omega \frac{G_T}{\langle T \rangle} c^2 \right]^2 \right\}^{-1}.$$



Р и с. 3

Характерные флюктуационные времена гармоник с волновым вектором k_n определяются корнями дисперсионного уравнения

(2.15)

$$\frac{\omega}{\gamma k_n} \left\{ -\omega^2 + k_n^2 c^2 + \gamma \left[\frac{k_n^2}{\langle \rho \rangle} \left(\frac{4}{3} \eta + \xi \right) + \delta_s^n \right] (\chi k_n^2 + \alpha_s) \right\} - \frac{1}{ik_n} \times$$

$$x \left\{ k_n^2 (k_n^2 \chi + \alpha_s) c^2 - \omega^2 \left[\frac{k_n^2}{\langle \rho \rangle} \left(\frac{4}{3} \eta + \xi \right) + \chi k_n^2 + \alpha_s + \delta_s^n \right] \right\} + i \omega \frac{G_T c^2}{\langle T \rangle} = 0$$

в комплексной плоскости частот ω . Здесь $\delta_s^n = \delta_s|_{\omega=ck_n}$. В общем случае все корни (2.15) комплексны. Однако есть критические величины градиента температуры G_T^* , при которых существуют действительные корни дисперсионного уравнения. На рис. 3 приведена зависимость мнимой $\text{Im } \omega_{c,n}$ части корня (2.15), нормированной на скорость звука в газе c и волновое число k_n , от градиента температуры в газе, отнесенного к величине критического градиента $G_{T,1}^*$ первой гармоники.

Результаты получены для первой, второй и третьей гармоник кварцевого реактора (кривые 1—3) с аргоном в качестве газа-носителя. Действительная часть корня $\text{Re}(\omega_{c,n}) \approx ck_n$ с хорошей точностью. Длина реактора 50 см, диаметр 5 см. При температуре на нагревателе ≈ 870 К и давлении в реакторе $\sim 10^5$ Па критическая величина градиента температуры для первой гармоники $G_{T,1}^* \sim 3000 — 4000$ град/м. Таким образом, когда $G_T = G_{T,n}^*$, где

$$G_{T,n}^* = \frac{\langle T \rangle}{c} \left[\frac{k_n^2}{\langle \rho \rangle} \left(\frac{4}{3} \eta + \xi \right) + \delta_s^n + (\gamma - 1) (\chi k_n^2 + \alpha_s) \right],$$

существует действительный корень (2.15), соответствующий частоте акустической волны гармоники k_n реактора: $\omega_{c,n}^* \approx ck_n$. В области градиентов температур, близких к критическим, корреляционная функция флюктуаций давления

$$(2.16) \quad \langle \tilde{p}_s(z, t), \tilde{p}_s(z', t') \rangle \simeq \frac{\exp \left(-\frac{t-t'}{\psi^n} \right)}{|G_T - G_{T,n}^*|} \times \\ \times \text{Re} [p_{G,n}^2 \exp (ik_n |z-z'| + i\omega_{c,n} |t-t'|)],$$

где $\tilde{\psi} = \frac{\psi_0^n}{|G_T - G_{T,n}^*|}$; $\psi_0^n = (\varepsilon_0^n \sin(\varphi_n))^{-1}$;

$$p_{G,n}^2 = \left[\frac{2k_B \varkappa}{\pi} \left(\frac{\gamma-1}{\gamma} \right)^2 (k_n^2 c^2 + 2ck_n \varepsilon^* |G_T - G_{T,n}^*|)^2 \times \right. \\ \times \left(k_n^2 c^2 + 2ck_n \varepsilon^* |G_T - G_{T,n}^*| + \left(\left(\frac{4}{3} \eta + \xi \right) \frac{k_n^2}{\langle \rho \rangle} + \delta_s^n \right)^2 \right) - \\ - \frac{k_B \langle T \rangle k_n^2 c}{\pi \gamma} \left(\frac{4}{3} \eta + \xi \right) \left(k_n^2 c^2 + 2ck_n \varepsilon^* |G_T - G_{T,n}^*| + \right. \\ \left. \left. + \frac{G_T}{\langle T \rangle c} + \left(\frac{1}{c} - \frac{G_T \varepsilon^*}{\langle T \rangle k_n} \right) |G_T - G_{T,n}^*| + k_n^2 \chi + \alpha_s^n \right)^2 \right) \right] \times$$

$$\begin{aligned}
& \times \left\{ \frac{-2k_n c^4 \langle T \rangle}{\gamma^2} \left((\gamma + 1) (k_n^2 \chi + \alpha_s) + \gamma \left(\left(\frac{4}{3} \eta + \xi \right) \frac{k_n^2}{\langle \rho \rangle} + \delta_s^n \right) \right) + \right. \\
& + 2\varepsilon^* \left(4k_n^2 c^4 \gamma^2 + c^2 \left(\left(\frac{4}{3} \eta + \xi \right) \frac{k_n^2}{\langle \rho \rangle} + \delta_s^n + \chi k_n^2 + \alpha_s \right) + \sqrt{\gamma} (\chi k_n^2 + \alpha_s) \right)^2 \left\}^{-1}; \\
& \varepsilon^* = \varepsilon_0^n \exp(i\varphi_n); \quad \varepsilon_0^n = 2k_n^2 c^6 \left\{ 4k_n^2 c^4 \gamma^2 + c^2 \left(\left(\frac{4}{3} \eta + \xi \right) \frac{k_n^2}{\langle \rho \rangle} + \right. \right. \\
& \left. \left. + \delta_s^n + \chi k_n^2 + \alpha_s \right) + \sqrt{\gamma} (\chi k_n^2 + \alpha_s) \right\}^2 \left\}^{-1}; \\
& \varphi_n = \arctg \left(\frac{\sqrt{\varepsilon_0^n - g_n^2}}{g_n} \right); \quad g_n = -\frac{2k_n c^4 \langle T \rangle}{\gamma^2} \left((\gamma + 1) (k_n^2 \chi + \alpha_s) + \right. \\
& + \gamma \left(\left(\frac{4}{3} \eta + \xi \right) \frac{k_n^2}{\langle \rho \rangle} + \delta_s^n \right) \left\{ 4k_n^2 c^4 \gamma^2 + c^2 \left(\left(\frac{4}{3} \eta + \xi \right) \frac{k_n^2}{\langle \rho \rangle} + \right. \right. \\
& \left. \left. + \delta_s^n + \chi k_n^2 + \alpha_s \right) + \sqrt{\gamma} (\chi k_n^2 + \alpha_s) \right\}^2 \left\}^{-1}.
\end{aligned}$$

В (2.16) ψ^n определяет характерное время корреляции, а $\omega_{c,n}$ — характерную частоту длинноволновой части флюктуаций давления:

$$(2.17) \quad \omega_{c,n} = ck_n + \varepsilon_0^n \cos(\varphi_n) (G_T - G_{T,n}^*).$$

Как видно из (2.16), амплитуда флюктуаций давления растет обратно пропорционально $|G_T - G_{T,n}^*|$. Аналогичную особенность обнаруживает и время корреляций ψ^n . При этом происходит выделение n -й гармоники реактора и генерируется акустическая волна с частотой $\omega_{c,n}^*$. Отметим, что оценки (2.16), (2.17) справедливы в окрестности значений G_T , близких к $G_{T,n}^*$, где еще несущественны нелинейные эффекты взаимодействия флюктуаций.

На рис. 4 приведена зависимость величины критического градиента $G_{T,1}^*$ для первой гармоники от давления и температуры. Результаты получены для двух предельных значений коэффициента теплопередачи: $\alpha = \infty$ и 0 (кривые 1 и 2) для тех же параметров газа в реакторе, что и на рис. 3. Из них следует, что уменьшение α приводит к уменьшению $G_{T,n}^*$. На рис. 5 показана зависимость $G_{T,n}^*$ от давления при $\alpha = 0$ для различных гармоник ($n = 1, \dots, 6$ — линии 6—1); видно, что $G_{T,n}^*$ с увеличением n растет. Полученные выводы качественно согласуются с данными газодинамических экспериментов по изучению механизмов термоакустических колебаний в приложении к объяснению эффектов вибрационного горения [7, 8].

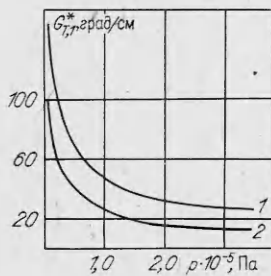


Рис. 4

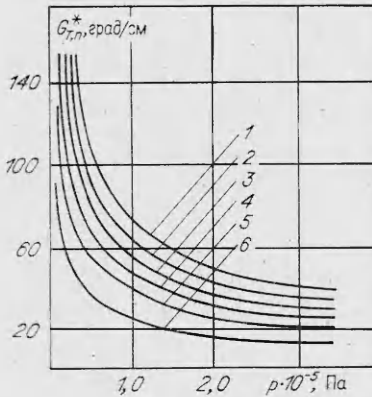


Рис. 5

Таким образом, развитый подход, основанный на определении влияния белого шума тепловых флуктуаций, представляется эффективным для изучения кинетики пороговых процессов для широкого класса явлений в открытых статистических системах. Показано, что флуктуации могут приводить к образованию стационарных и нестационарных периодических структур. Применимо к процессам кристаллизации они могут быть причиной появления периодических неоднородностей распределения примесей, дефектов в формирующейся твердой фазе при значениях технологических параметров процесса, близких к критическим.

ЛИТЕРАТУРА

1. Mullins W. W., Sekerka R. F. Stability of a planar interface during solidification of dilute binary alloy.— J. Appl. Phys., 1964, v. 35, p. 444.
2. Максимов С. К., Нагдаев Е. Н. Явление автомодуляции состава эпитаксиальных пленок Ga As.— ДАН СССР, 1979, т. 245, № 6.
3. Черепанова Т. А. Флуктуационный механизм неустойчивости растущих граней кристаллов.— ДАН СССР, 1976, т. 226, № 5.
4. Favier J. J. Instabilite de l'interface solide/liquide: limits et aspect morphologiques en conditions de microgravite.— Compte-Rendu D. M. G. N 35/82, Grenoble, 1982.
5. Шлихтинг Г. Теория пограничного слоя.— М.: Наука, 1974.
6. Ландау Л. Д., Лифшиц Е. М. Статистическая физика.— М.: Наука, 1976.
7. Галиуллин Р. Г., Ревва И. П., Халимов Г. Г. Теория термических автоколебаний.— Казань: Казань. ун-т, 1982.
8. Фомичев В. М., Горшунов О. Л. К вопросу о возбуждении термоакустических колебаний.— ТВТ, 1981, т. 19, № 3.

Поступила 22/XI 1985 г.

УДК 534.222.1 + 534.222.2

КОЛЕБАНИЯ В НЕОДНОРОДНОЙ СРЕДЕ И ПРИРОДА СПИНОВОЙ ГАЗОПЛЕНОЧНОЙ ДЕТОНАЦИИ

A. B. Пинаев

(Новосибирск)

1. Анализ акустических резонансных колебаний в продуктах детонации гомогенных газовых смесей впервые проделан в [1—4], где отмечено близкое совпадение экспериментально измеренной частоты вращения «головы» спирали ω_{es} и частоты первой гармоники ω_{11} поперечных колебаний цилиндрического столба газа с постоянными параметрами, соответствующими состоянию в плоскости Жуге. Возмущения течения в [1—4] исследованы без учета наличия зоны реакции. Поскольку возмущения распространяются из зоны реакции вниз по потоку и не проникают из сверхзвуковой области через поверхность Чепмена — Жуге к фронту, то в этих работах нет ответа на вопросы: почему неустойчив сам фронт детонации и почему $\omega_{es} \approx \omega_{11}$?

Качественное изучение устойчивости плоской детонационной волны при случайном искривлении фронта горения для модели детонации с периодом индукции и последующей мгновенной реакцией проведено в [5, 6].

В более строгой математической постановке решалась задача об устойчивости фронта детонации с прымывающей к нему одномерной зоной реакции для газовых смесей [7—9]. Указано на устойчивость пересжатой детонационной волны при стремлении к нулю тепловыделения за ее фронтом [7, 9]. Устойчивость основного решения уравнений гидродинамики и химической кинетики для детонации Чепмена — Жуге по отношению к малым возмущениям исследована в [8], где найдены некоторые из собственных чисел и получено, что частоты растущих во времени цилиндрических гармоник зависят от отношения ширины зоны реакции к радиусу трубы.

В [10] предложена акустическая модель, представляющая критерий для развития спонтанно возникающих поперечных волн, и показано, что при любой разумной кинетике происходит усиление бесконечно малых высокочастотных поперечных возмущений в зоне экзотермических реакций детонации Чепмена — Жуге. Теория [11] описывает механизм раннего поведения волнового фронта в течение возникновения поперечных волн и показывает, что волны конечной амплитуды не будут возникать в пламенах или ударных волнах, сопровождаемых зоной эндотермических реакций.

В [12—15] экспериментально обнаружены и изучены стационарные спиновые детонационные режимы в гетерогенной системе газообразный окислитель в объеме трубы — пленка жидкого горючего на ее стенках. Появившаяся позднее модель спиновой газопленочной детонации [16, 17] содержит следующие предположения: горе-